

## بررسی ریزساختار و کیفیت ذخیره‌سازی هیدروژن در آلیاژ $MmNi_{3.55}Co_{0.75}Mn_{0.4}Al_{0.3}$ حاوی میش‌متال غنی از سریم، به منظور استفاده در باتری‌های نیکل-هیدرید فلزی

محمد دریانی تبریزی<sup>۱</sup>، محمود کاظم‌زاد آسیابی<sup>۱\*</sup>، مصطفی ساداتی<sup>۲</sup>، تورج عبادزاده<sup>۱</sup>، علی کفلو<sup>۳</sup>

<sup>۱</sup>پژوهشگاه مواد و انرژی، پژوهشکده سرامیک، کرج، ایران.

<sup>۲</sup>دانشگاه شهید بهشتی، تهران، ایران.

<sup>۳</sup>سازمان پژوهش‌های علمی و صنعتی ایران، تهران، ایران.

تاریخ ثبت اولیه: ۱۳۹۵/۳/۱۶، تاریخ دریافت نسخه اصلاح شده: ۱۳۹۵/۷/۲۵، تاریخ پذیرش قطعی: ۱۳۹۶/۷/۱

**چکیده** امروزه باتری‌های لیتیومی و نیکل-هیدرید فلزی به دلیل ظرفیت ذخیره‌سازی بالاتر انرژی و عدم به‌کارگیری فلزات سنگین و آلاینده محیط‌زیست، بسیار مورد توجه‌اند. در باتری‌های نیکل-هیدرید فلزی، آلیاژ جاذب هیدروژن در الکتروود منفی با هیدرولیز آب به هیدرید فلز تبدیل می‌گردد. در پژوهش حاضر آلیاژ  $MmNi_{3.55}Co_{0.75}Mn_{0.4}Al_{0.3}$  حاوی میش‌متال غنی از سریم، با استفاده از روش قوس الکتریکی تحت خلاء سنتز شد. در ادامه، آلیاژ حاصل جهت همگن‌سازی به مدت هفت ساعت در کوره تیوبی و در دمای ۹۰۰ درجه سانتی‌گراد قرار گرفت. خردایش آلیاژ به دلیل ماهیت ترد آن در یک هاون عقیق انجام شد و آلیاژ خرد شده با اندازه ذرات کمتر از ۵۰ میکرون تحت آزمون‌های اشعه ایکس (بررسی ریزساختار ساختار)، سیورت (بررسی ظرفیت ذخیره‌سازی هیدروژن) و الکتروشیمی (بررسی میزان انرژی ذخیره شده به صورت برگشت‌پذیر) قرار گرفت. الگوی پراش اشعه ایکس نشان می‌دهد آلیاژ حاصل به‌طور عمده ساختار کریستالوگرافی هگزاگونال با فرمول شیمیایی  $AB_5$  دارد. بررسی‌های انجام شده به وسیله دستگاه سیورت نشان می‌دهد، در دمای محیط یک درصد وزنی و در دمای ۶۰ درجه سانتیگراد با فرمول شیمیایی  $AB_5$  دارد. بررسی‌های انجام شده به وسیله دستگاه سیورت نشان می‌دهد، در دمای محیط یک درصد وزنی و در دمای ۶۰ درجه سانتیگراد با فرمول شیمیایی  $AB_5$  دارد. بررسی‌های انجام شده به وسیله دستگاه سیورت نشان می‌دهد، در دمای محیط یک درصد وزنی و در دمای ۶۰ درجه سانتیگراد با فرمول شیمیایی  $AB_5$  دارد. هم‌چنین بررسی‌های الکتروشیمیایی به وسیله دستگاه ایویوم (Evium) نیز نشان می‌دهد این آلیاژ به صورت برگشت‌پذیر قابلیت ذخیره‌سازی انرژی به میزان ۱۵۰ mAh/g را دارد.

**کلمات کلیدی:** باتری نیکل-هیدرید فلزی، آلیاژ جاذب هیدروژن، میش‌متال، ذخیره‌سازی انرژی، قوس الکتریکی تحت خلاء.

## Synthesis and Characterization of Cerium rich $MmNi_{3.55}Co_{0.75}Mn_{0.4}Al_{0.3}$ for Ni-MH battery applications

Mohammad Daryani Tabrizi<sup>1\*</sup>, Mahmoud Kazemzad Asiabi<sup>1</sup>, Mustafa Sadati<sup>2</sup>, Touraj Ebadzadeh<sup>1</sup>, Ali Kafloo<sup>3</sup>

<sup>1</sup>Materials and Energy Research Center, Department of Ceramic, Karaj, Iran.

<sup>2</sup>Shahid Beheshti University, Tehran, Iran

<sup>3</sup>Iranian Research Organization for Science and Technology, Tehran, Iran

**Abstract** Li-Ion and Ni-MH batteries are the best candidate for Electric Vehicles. Despite higher energy densities of Li-Ion batteries, because of economical reason Ni-MH Batteries are still attractive for scientist. In this investigation Cerium rich  $MmNi_{3.55}Co_{0.75}Mn_{0.4}Al_{0.3}$  has been produced via Vacuum Arc Remelting Process. Phase characterization has shown that the predominant crystallographic phase is Hexagonal type with  $AB_5$  chemical formulation. Volumetric Sievert test has shown that the alloy could store 1%wt percent hydrogen at room temperature. Electrochemical analysis with Evium-Stat has shown that the energy density which the alloy can reversibly deliver is about 150 mAh/g.

**Keywords:** Nickel-Metal Hydride Battery, Hydrogen Storage Alloys, Mischmetal, Vacuum Arc Remelting.

## ۱- مقدمه

ترکیبات با پایه زیرکونیم و یا تیتانیم با ساختار  $AB_2$ ، آلیاژهای پایه منیزیم با ساختار آمورف و نانوبلور و آلیاژهای پایه V-Ti با ساختار BCC را نام برد [۶-۷]. آلیاژهای با پایه فلزات نادرخاکی بیشترین سهم را در ساخت آند باتری‌های نیکل-هیدرید فلزی دارند. در ساختار بلوری این آلیاژ، سه مکان بین نشین اکتاهدرال و شش مکان بین نشین تتراهدرال وجود دارد. در فشارهای نزدیک به شرایط محیط، اتم‌های هیدروژن ترجیح می‌دهند حین فرآیند جذب، در فضاهای تتراهدرال قرار گیرند. بنابراین، یک سلول واحد  $LaNi_5$  در شرایط محیط، توانایی جذب شش اتم هیدروژن را دارد و پس از جذب هیدروژن، به  $LaNi_5H_6$  تبدیل می‌گردد [۸]؛ این مقدار معادل با ظرفیت تئوری  $372 \text{mAh/g}$  می‌باشد [۷]. البته در عمل ظرفیت این الکترودها  $230-310 \text{mAh/g}$  گزارش شده است [۵]. با افزایش فشار تا مقادیر بالاتر از  $1000$  اتمسفر مکان‌های اکتاهدرال نیز توسط اتم‌های هیدروژن اشغال شده و ترکیب  $LaNi_5H_9$  تشکیل می‌گردد [۸]. استفاده از الکترودهای  $LaNi_5$  برای نخستین بار در سال ۱۹۷۳ توسط جاستی<sup>۱</sup> و همکاران گزارش شده است [۹]. فشار تعادلی واجذب  $LaNi_5H_6$  در دمای ۲۵ درجه سانتی‌گراد دو اتمسفر می‌باشد؛ بنابراین، در سلول‌های الکتروشیمیایی باز، مقدار قابل‌توجهی از ظرفیت باتری در اثر تجزیه‌ی فاز هیدریدی به هیدروژن‌گازی تلف می‌گردد [۱۰]. در سال ۱۹۷۸ پژوهش‌های گوگان<sup>۲</sup> و همکاران [۱۱] نشان داد با افزودن منگنز و آلومینیم به ترکیب  $LaNi_5$  این مشکل برطرف می‌گردد. آلومینیم و منگنز فشار تعادلی تجزیه  $LaNi_5H_6$  را در دمای محیط به مقادیری کمتر از یک اتمسفر کاهش می‌دهند. با وجود حل این مشکل، به دلیل مقاومت به خوردگی پایین، استفاده تجاری از این آلیاژ هنوز امکان‌پذیر نبود. با توجه به اختلاف حجم مولی بین فاز هیدریدی و فاز فلزی<sup>۳</sup> و ماهیت ترد آلیاژهای جاذب هیدروژن<sup>۴</sup> حین فرآیند شارژ و تخلیه، ریزترک‌هایی در سطح ذرات ایجاد می‌شود که در نهایت سبب خرد شدن ذرات و ایجاد سطوح تازه می-

با کاهش روزافزون ذخایر سوخت‌های فسیلی و افزایش قیمت فرآورده‌های نفتی، گسترش خودروهایی الکتریکی و هیبریدی کانون توجه خودروسازان قرار گرفته است. جهت نیل به این هدف توسعه باتری‌های قابل شارژ با ظرفیت ذخیره سازی انرژی بالا و قیمت مناسب اجتناب‌ناپذیر است [۱-۲]. امروزه باتری‌های لیتیومی و نیکل-هیدرید فلزی به دلیل ظرفیت ذخیره‌سازی بالاتر انرژی و عدم به‌کارگیری فلزات سنگین و آلاینده محبظ‌زیست، بسیار مورد توجه‌اند. این باتری‌ها به باتری‌های سبز شهرت یافته‌اند. با وجود این‌که باتری‌های لیتیومی ظرفیت بیشتری در ذخیره‌سازی انرژی دارند، استفاده از این باتری‌ها به دلیل قیمت بالا در خودروهایی الکتریکی مقرون به صرفه نیست و باتری‌های دیگری هم‌چون باتری‌های نیکل-هیدرید فلزی به عنوان جایگزین مطرح می‌باشند [۳-۴]. اجزای یک باتری نیکل-هیدرید فلزی عبارتند از: الکتروود مثبت حاوی ذرات پودری هیدروکسیدنیکل، الکتروود منفی حاوی ذرات آلیاژ جاذب هیدروژن و الکتروولیت قلیایی (محلول شش مولار KOH). در الکتروود مثبت باتری‌های نیکل-هیدرید فلزی حین شارژ،  $Ni(OH)_2$  به فاز  $NiOOH$  اکسید می‌شود و آلیاژ جاذب هیدروژن در الکتروود منفی با هیدرولیز آب به هیدرید فلز تبدیل می‌گردد. گروه گسترده‌ای از آلیاژها توانایی واکنش برگشت‌پذیر با هیدروژن و تشکیل هیدرید فلز را دارند. یک آلیاژ جاذب هیدروژن به منظور استفاده در باتری‌های نیکل-هیدرید فلزی، باید پارامترهای ذیل را دارا باشد [۵-۶]:

- ◆ ظرفیت بالا در ذخیره‌سازی هیدروژن.
- ◆ مقاومت به خوردگی در محیط‌های قلیایی.
- ◆ توانایی جذب و دفع هیدروژن در شرایط محیط.
- ◆ سیستیک جذب و دفع مناسب در شرایط محیط.
- ◆ تکرارپذیری چرخه‌های جذب و واجذب.
- ◆ عملکرد مناسب در بازه دمایی  $46^\circ\text{C}$  تا  $66^\circ\text{C}$ .

با توجه به موارد یاد شده، تحقیقات گسترده‌ای جهت ساخت آلیاژهای جاذب هیدروژن به منظور استفاده در باتری‌های نیکل-هیدرید فلزی صورت گرفته است؛ که از جمله آن‌ها می‌توان آلیاژهای با پایه فلزات نادرخاکی با ساختار  $AB_5$

<sup>1</sup> Justi<sup>2</sup> Percheron Guegan<sup>۳</sup> در آلیاژ  $LaNi_5$  این اختلاف در حدود ۲۵ درصد می‌باشد.<sup>۴</sup> آلیاژهای جاذب هیدروژن به‌طور معمول ترکیب‌های بین‌فلزی با انعطاف‌پذیری پایین می‌باشند.

الکتریکی تحت خلاء، ساخت شرکت دانش بنیان فراذوب استفاده گردید. این دستگاه دارای یک قالب مس-بریلومی مجهز به سیستم آبگرد می باشد. پس از برقراری قوس الکتریکی، دمای اسمی ذوب به حدود ۳۵۰۰ درجه سانتی گراد می رسد و پس از قطع قوس الکتریکی آلیاژ به سرعت سرد می گردد. پس از قرار دادن مواد اولیه درون قالب، جهت حذف اکسیژن موجود در محفظه ی دستگاه از سیستم روتوری و پمپ دیفیوژن استفاده شد و در ادامه محفظه با گاز آرگون پر گردید. عملیات شستشوی محفظه با این روش سه بار تکرار شد. پس از برقراری قوس و آلیاژسازی، به منظور اطمینان از یکنواختی آلیاژ سنتز شده، عملیات ذوب مجدد سه بار تکرار شد. یکی از مزایای روش قوس الکتریکی تحت خلاء، زمان کوتاه آلیاژسازی است (چند ثانیه). این مطلب به همراه سرمایش سریع سبب می گردد نسبت های استوکیومتری مواد توزین شده تا حد امکان بدون تغییر باقی بماند.

#### ۲-۴ هموزن سازی آلیاژ جاذب هیدروژن

به منظور هموزن سازی، آلیاژ سنتز شده درون یک کوره تیوبی در دمای ۹۰۰ درجه سانتی گراد تحت خلاء  $10^{-4}$  Torr به مدت هفت ساعت قرار گرفت و پس از آن از کوره خارج و در آب سرد کوئنچ گردید.

#### ۲-۵ الکترو دساز

به دلیل ماهیت ترد آلیاژ جاذب هیدروژن، خردایش ذرات به کمک هاون عقیق انجام پذیرفت. در ادامه با استفاده از سرنند با مش ۲۷۰، ذرات کوچکتر از ۵۰ میکرون جهت الکترو دساز جدا و ذرات درشت تر جهت خردایش مجدد برگشت داده شد. جهت ساخت الکترو د منفی ابتدا ۰/۱ گرم از آلیاژ جاذب هیدروژن با نسبت وزنی ۱:۱ با پودر نیکل مخلوط شد. حضور پودر نیکل علاوه بر افزایش هدایت الکتریکی، سینتیک واکنش جذب و واجذب را بهبود می دهد [۱۲]. پس از آن پنج درصد وزنی <sup>۱</sup>PVB به عنوان چسب به مخلوط اضافه گردید. به مخلوط حاصل مقداری الکل اضافه و خمیر حاصل بر روی فوم نیکل (با تخلخل حجمی ۹۵ درصد و مش ۱۰۰) به قطر ۱۰ میلی متر و ضخامت ۱/۵ میلی متر قرار گرفت. فوم دیگری با همین ابعاد بر روی خمیر قرار داده شده و به صورت

گردند. سطوح تازه ایجاد شده در تماس با محیط به شدت اکسیدکننده الکترولیت، اکسید و بدین ترتیب ظرفیت آلیاژ در ذخیره سازی انرژی به مرور کاهش می یابد [۱۲]. استفاده از کبالت با کاهش سختی آلیاژ و نیز کاهش اختلاف حجم مولی بین فاز فلزی و فاز هیدریدی (تا میزان ۱۵/۴ درصد) [۱۳] و نیز تغییر در ماهیت لایه اکسیدی سطحی، عملکرد این آلیاژ را بهبود می دهد [۱۲]. هم چنین جایگزین کردن میس متال به جای لاتانیم علاوه بر کاهش هزینه ساخت آلیاژ، سبب افزایش عمر و مقاومت به خوردگی این الکترودها می گردد [۱۴].

هدف از پژوهش حاضر سنتز آلیاژ جاذب هیدروژن با ترکیب  $MmNi_{3.55}Co_{0.75}Mn_{0.4}Al_{10.3}$  حاوی میس متال غنی از سریم می باشد و در ادامه ریزساختار و کیفیت جذب و دفع هیدروژن توسط این آلیاژ بررسی خواهد گردید.

#### ۲- روش تحقیق

##### ۲-۱ مواد اولیه

نیکل، کبالت، منگنز، آلومینیم با خلوص بالاتر از ۹۹ درصد به صورت بالک خریداری شد. هم چنین ترکیب شیمیایی میس متال مورد استفاده در این پژوهش در جدول (۱) ارائه شده است.

جدول ۱. ترکیب شیمیایی میس متال.

عنصر	Ce	La	Residual
درصد وزنی (%)	۶۳	۳۶	۱

##### ۲-۲ آماده سازی مواد اولیه

به منظور سنتز آلیاژ  $MmNi_{3.55}Co_{0.75}Mn_{0.4}Al_{10.3}$ ، ۱۵ گرم از مواد اولیه با نسبت مولی مشخص توزین و سطح نمونه ها جهت از بین بردن اکسیدهای سطحی با استفاده از اسید سولفوریک ۲۰ درصد شستشو داده شد. با توجه به تشکیل اکسیدهای پایدار سریم و لاتانیم روی سطح میس متال، سطوح میس متال به کمک سنباده پرداخت گردید. نمونه های آماده شده جهت جلوگیری از اکسیداسیون مجدد درون ظرف محتوی دی کلرومتان نگهداری گردید.

##### ۲-۳ سنتز آلیاژ جاذب هیدروژن

به منظور سنتز آلیاژ جاذب هیدروژن از دستگاه قوس

<sup>۱</sup>PolyVinylButyral

کمک اختلاف فشار ناشی از جذب یا دفع هیدروژن، می‌توان مقدار هیدروژن جذب و یا آزاد شده را محاسبه نمود [۱۵]. در پژوهش حاضر از دستگاه سیورت هم‌حجم، ساخت داخل کشور استفاده گردید. جهت انجام آزمون‌های سیورت، ابتدا لازم است فعال‌سازی آلیاژ انجام پذیرد. فعال‌سازی به معنای شکستن لایه‌های اکسیدی سطحی جهت سهولت در فرآیند جذب و دفع هیدروژن می‌باشد. به منظور فعال‌سازی در دستگاه سیورت، ۱/۴ گرم پودر آلیاژ جاذب هیدروژن درون راکتور دستگاه قرار گرفت و به مدت دو ساعت در دمای ۵۵۰ درجه تحت خلاء Torr<sup>-۶</sup> ۱۰ قرار داده شد تا قسمتی از اکسید های سطحی آن احیا گردد. در ادامه هیدروژن خشک با فشار ۲۰ اتمسفر به درون راکتور تزریق شد و نمونه تا رسیدن به دمای محیط تحت اتمسفر هیدروژن خشک نگهداری گردید. در دمای محیط نمونه در سه چرخه پی‌درپی جذب (در فشار ۲۰ بار هیدروژن) و واجذب (خلأ Torr<sup>-۶</sup> ۱۰) قرار گرفت تا خردایش ذرات آلیاژی و فعال‌سازی صورت پذیرد. پس از آن ظرفیت آلیاژ در ذخیره‌سازی هیدروژن از فشار Torr<sup>-۶</sup> ۱۰ تا فشار ۳۰ اتمسفر در ۱۲ نقطه مختلف اندازه‌گیری گردید. این آزمون در دو دمای محیط و دمای ۶۰ درجه سانتی‌گراد انجام پذیرفت.

### ۲-۸ آنالیزهای ساختاری و شیمیایی

در بررسی ساختار آلیاژ سنتز شده از دستگاه XRD مدل PW 3710 ساخت شرکت Philips استفاده شد. طول موج اشعه ایکس ناشی از لامپ مسی  $A^\circ 1.54$ ، زاویه روبش  $(2\theta)$   $5^\circ-80^\circ$ ، اندازه پله های روبش  $0.2^\circ$  و زمان ماندگاری در هر پله ۰/۵ ثانیه بود. همچنین به منظور بررسی ترکیب شیمیایی آلیاژ ذوب شده از میکروسکوپ الکترونی روبشی ساخت شرکت Oxford-Instrument استفاده شد و آنالیز EDX بر روی نمونه‌ی سنتز شده انجام گرفت.

### ۳- نتایج و بحث

#### ۳-۱ بررسی ساختار فازی و شیمیایی آلیاژ

در جدول (۲) ترکیب شیمیایی آلیاژ پیش و پس از ذوب ارائه شده است. نتایج حاصل از آنالیز EDX نشان می‌دهد مقداری از فلز منگنز در اثر آلیاژسازی تبخیر شده است.

ساندویچی تحت فشار ۵۰۰ مگاپاسکال به مدت ۳۰ ثانیه قرار گرفت.

#### ۲-۶ نحوه انجام آزمون‌های الکتروشیمیایی

به منظور برقراری سلول الکتروشیمیایی الکتروود مثبت و منفی درون یک بشر حاوی محلول شش مولار KOH قرار گرفت. از آنجا که هدف از پژوهش حاضر بررسی خواص آلیاژ جاذب هیدروژن (الکتروود منفی) است، بنابراین ظرفیت الکتروود مثبت به‌طور قابل‌ملاحظه‌ای بیش از الکتروود منفی در نظر گرفته شد تا کنترل‌کننده ظرفیت سلول، الکتروود منفی و آلیاژ جاذب هیدروژن باشد. با توجه به قلیایی بودن محیط الکتروولیت، از الکتروود Ag/AgO ساخت شرکت آذر الکتروود، به عنوان الکتروود مرجع استفاده گردید. الکتروود مرجع در فاصله پنج میلی‌متری نسبت به الکتروود منفی قرار داده شد. به منظور کنترل دما، سلول ساخته شده درون حمام آب با قابلیت تنظیم دما قرار گرفت و آزمون‌های شارژ و تخلیه با استفاده از دستگاه ایویوم (Evium) ساخت کشور هلند انجام پذیرفت. آزمون‌های جذب و واجذب به صورت جریان ثابت و طبق دستورالعمل ذیل انجام گرفت:

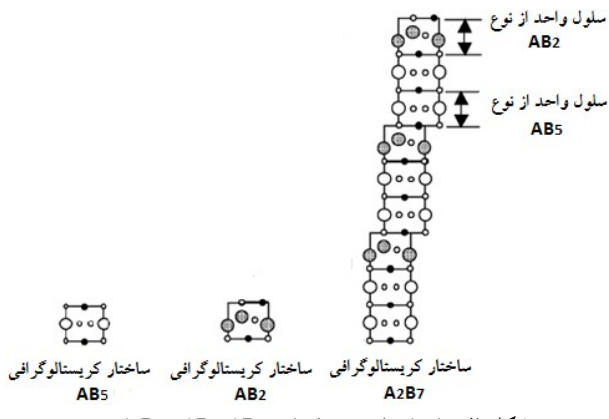
۱. شارژ در جریان ۱۲mA به مدت ۱۸۰ دقیقه معادل با ظرفیت تئوری الکتروود ساخته شده.
۲. تخلیه در جریان ۱۲mA تا رسیدن به اختلاف ولتاژ ۰/۶ ولت.

#### ۲-۷ آزمون سیورت به منظور اندازه‌گیری ظرفیت ذخیره سازی هیدروژن در آلیاژ سنتز شده

در بررسی ترمودینامیکی واکنش جذب و دفع هیدروژن در هیدریدهای فلزی، از منحنی های فشار- ترکیب- دما<sup>۱</sup> (PCT) استفاده می‌گردد. جهت رسم این منحنی از دستگاه سیورت استفاده می‌شود. به‌طور کلی یک دستگاه سیورت از یک مخزن با حجم کالیبره شده، یک راکتور با قابلیت تنظیم دما، یک سیستم نشانگر فشار، یک منبع برای تامین هیدروژن و یک سیستم برای ایجاد خلاء تشکیل شده است. گاز هیدروژن در فشارهایی کمتر از ۵۰ بار رفتار ایده‌آل از خود نشان می‌دهد؛ بنابراین جهت محاسبه مقدار هیدروژن جذب و دفع شده می‌توان از قانون گازهای ایده‌آل استفاده نمود. به

<sup>۱</sup>Pressure-Composition-Temperature

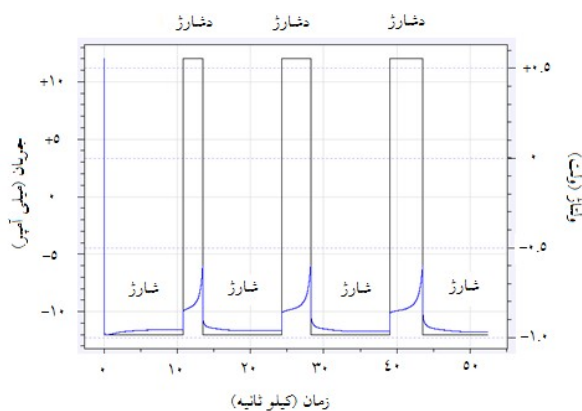
است، فاز بین فلزی  $A_2B_7$  از لایه‌هایی با ساختار  $AB_2$  و  $AB_5$  تشکیل شده‌اند.  $AB_5$  به‌طور معمول ترکیبات  $LaNi_5$  و  $AB_2$  به صورت  $(La,Mg)Ni_2$  می‌باشد [۱۶]. از آنجا که در این آلیاژها لایه‌های مختلف با ساختار بلوری متفاوت در کنار یکدیگر قرار گرفته‌اند، به اصطلاح به آن‌ها ابرشبکه اطلاق می‌گردد [۶].



شکل ۲. ساختار بلوری ترکیبات  $AB_2$ ،  $AB_5$  و  $[A_2B_7]$ .

از آنجا که ترکیبات  $AB_2$  (ساختارهای لاوزی ۲) ظرفیت بیشتری در ذخیره‌سازی هیدروژن نسبت به ترکیبات  $AB_5$  دارند (تقریباً دوبرابر)، آلیاژهای ابرساختار نسبت به ترکیبات  $AB_5$  هیدروژن بیشتری را در ساختار کریستالوگرافی خود جای می‌دهند [۶]. جهت افزایش حجم ساختارهای ابرشبکه، به عناصر آلیاژی پایدارکننده چون منیزیم نیاز است [۱۲].

۲-۳ بررسی ظرفیت ذخیره‌سازی انرژی در آلیاژ  $MmNi_{3.55}Co_{0.75}Mn_{0.4}Al_{0.3}$  در شکل (۳) آزمون‌های جریان ثابت شارژ و تخلیه که به صورت چرخه‌ای انجام شده، ارائه گردیده است.



شکل ۳. منحنی‌های شارژ و تخلیه برای آلیاژ  $MmNi_{3.55}Co_{0.75}Mn_{0.4}Al_{0.3}$  با استفاده از اطلاعات شکل (۳) تغییرات ولتاژ بر حسب زمان در چرخه‌های تخلیه به‌راحتی قابل ترسیم است.

در جدول شماره (۳) نقطه جوش اجزای تشکیل دهنده آلیاژ نشان داده شده است. همان‌طور که در جدول (۳) قابل رویت است، نقطه جوش منگنز نسبت به سایر عناصر پایین‌تر است. به عبارت دیگر فشار بخار منگنز نسبت به اجزای دیگر بالاتر بوده و امکان تبخیر آن حین آلیاژسازی بیش از عناصر دیگر است. با توجه به دمای بالای قوس ایجاد شده حین ذوب، احتمال تبخیر منگنز بیش از عناصر دیگر است. کاهش وزن نمونه پس از آلیاژسازی (۱۴،۸ گرم) نیز نشان می‌دهد این کاهش بیشتر ناشی از سوختن فلز منگنز می‌باشد.

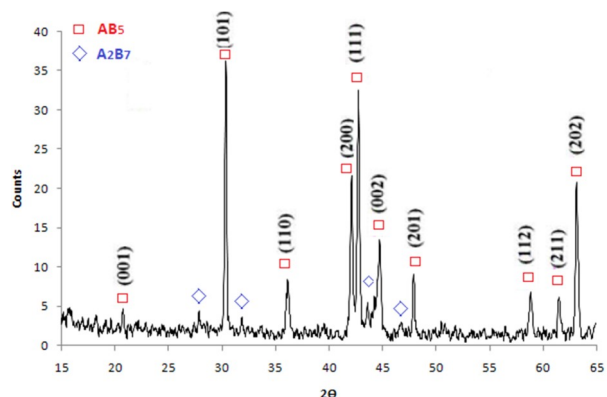
جدول ۲. ترکیب شیمیایی آلیاژ پیش و پس از ذوب.

	Ce	La	Ni	Co	Al	Mn
پیش از ذوب	۲۱	۱۲	۴۹،۵	۱۰،۵	۲	۵
پس از ذوب	$۲۲ \pm ۰،۵$	$۱۲،۴ \pm ۰،۴$	$۵۰،۲ \pm ۰،۵$	$۱۰ \pm ۰،۳$	$۲،۸ \pm ۰،۲$	$۲،۸ \pm ۰،۲$

جدول ۳. نقطه جوش اجزای تشکیل دهنده آلیاژ [۱].

نام عنصر	Ce	La	Ni	Co	Al	Mn
نقطه جوش ( $^{\circ}C$ )	۳۴۴۳	۳۴۶۴	۲۹۱۳	۲۸۷۰	۲۴۷۰	۲۰۶۱

در شکل (۱) منحنی پراش اشعه ایکس آلیاژ  $MmNi_{3.55}Co_{0.75}Mn_{0.4}Al_{0.3}$  سنتز شده با روش قوس الکتریکی تحت خلاء نشان داده شده است. بررسی‌های فازی نشان می‌دهد آلیاژ حاصل به‌طور عمده حاوی فاز بین فلزی با فرمول  $AB_5$  می‌باشد. علاوه بر آن مقداری فاز ابرساختار<sup>۱</sup>  $A_2B_7$  نیز در آلیاژ سنتز شده مشاهده می‌گردد.



شکل ۴. الگوی پراش اشعه ایکس آلیاژ  $MmNi_{3.55}Co_{0.75}Mn_{0.4}Al_{0.3}$  سنتز

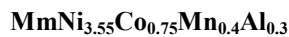
شده با روش قوس الکتریکی تحت خلاء.

در شکل (۲) ساختار بلوری ترکیبات  $AB_2$ ،  $AB_5$  و  $A_2B_7$  نشان داده شده است. همان‌طور که در تصویر قابل رویت

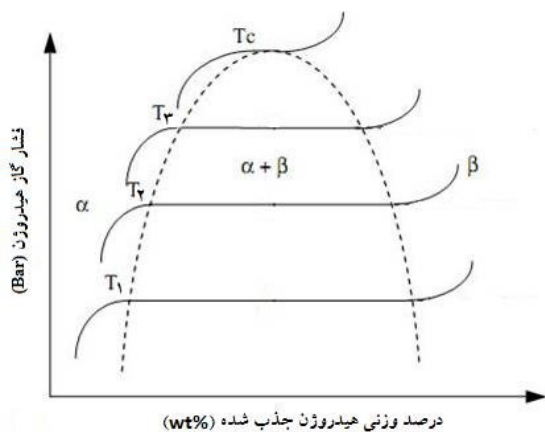
<sup>2</sup> Laves Phases

<sup>1</sup> Superlattice

### ۳-۳ بررسی ظرفیت ذخیره‌سازی هیدروژن در آلیاژ

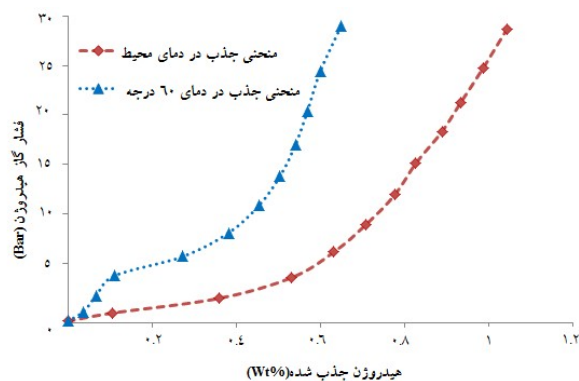


در فرآیند جذب هیدروژن در ابتدا مقدار کمی از هیدروژن در ساختار فلز جاذب حل می‌شود (کمتر از ۰.۳٪ وزنی) که ایجاد یک محلول جامد از اتم‌های هیدروژن در فلز جاذب می‌نماید [۱] و آن را با  $\alpha$  نشان می‌دهند. با افزایش فشار هیدروژن و در نتیجه افزایش میزان هیدروژن جذب شده، فاز هیدریدی ( $\beta$ ) در زمینه  $\alpha$  شروع به جوانه‌زنی و رشد می‌نماید. در منطقه تخت یک منحنی PCT هر دو فاز  $\alpha$  و  $\beta$  در کنار هم حضور دارند. با افزایش دما، فشار تعادلی منطقه تخت افزایش و طول این منطقه کاهش می‌یابد. به طوری که در دماهایی بیش از دمای بحرانی ( $T_c$ ) منطقه تخت حذف می‌گردد، به عبارت دیگر فاز  $\alpha$  به صورت پیوسته به فاز  $\beta$  تبدیل می‌شود [۱۵].



شکل ۶. شماتیک اثر تغییرات دما بر منحنی‌های فشار-ترکیب-دما [۱].

در شکل (۷) منحنی‌های فشار-ترکیب شیمیایی-دما در واکنش جذب هیدروژن، برای آلیاژ سنتز شده با ترکیب  $\text{MmNi}_{3.55}\text{Co}_{0.75}\text{Mn}_{0.4}\text{Al}_{0.3}$  نشان داده شده است.

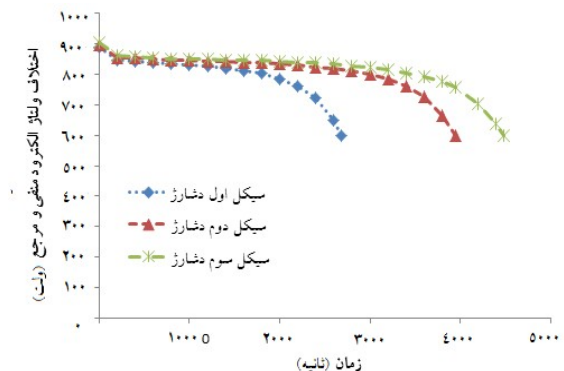


شکل ۷. منحنی‌های فشار-ترکیب شیمیایی-دما برای آلیاژ

$\text{MmNi}_{3.55}\text{Co}_{0.75}\text{Mn}_{0.4}\text{Al}_{0.3}$  در دمای محیط و ۶۰ درجه سانتی‌گراد.

این مطلب در شکل (۴) قابل رویت است.

جهت رسم منحنی‌های تخلیه، ولتاژ سل (برحسب میلی‌ولت) برحسب زمان گزارش می‌گردد.



شکل ۴. تغییرات ولتاژ بر حسب زمان در چرخه‌های تخلیه برای آلیاژ  $\text{MmNi}_{3.55}\text{Co}_{0.75}\text{Mn}_{0.4}\text{Al}_{0.3}$

از روی منحنی‌های ولتاژ بر حسب زمان در چرخه‌های تخلیه، ظرفیت آلیاژ جاذب هیدروژن در ذخیره‌سازی انرژی قابل محاسبه خواهد بود. این مطلب به صورت نمودار در شکل (۵) نشان داده شده است. در چرخه‌های نخست واکنش جذب و دفع هیدروژن به دلیل اختلاف حجم مولی بین فاز هیدریدی و فاز فلزی و ماهیت ترد آلیاژهای جاذب هیدروژن ریزترک‌هایی در سطح ذرات ایجاد شده که در نهایت سبب خردایش ذرات و ایجاد سطوح تازه می‌گردد. به این چرخه‌های اولیه در فرآیند شارژ و تخلیه به اصطلاح فرآیند فعال‌سازی اطلاق می‌شود. در واکنش جذب و دفع هیدروژن در چرخه‌های نخست، به دلیل ایجاد سطوح تازه ظرفیت آلیاژ به تدریج افزایش می‌یابد. بررسی نتایج منتشر شده محققین [۱۸-۲۱] در این حوزه صحت ادعای فوق را تایید می‌نماید.



شکل ۵. ظرفیت ذخیره‌سازی انرژی در چرخه‌های پی‌درپی شارژ و تخلیه.

این فشار مترادف با یک پتانسیل تعادلی در سلول الکتروشیمیایی می‌باشد. جهت بررسی این پدیده پس از تخلیه الکتروشیمیایی آلیاژ جاذب هیدروژن، به مدت ۲۰ دقیقه آلیاژ دوباره شارژ و پتانسیل مدار باز آلیاژ جاذب هیدروژن اندازه‌گیری شد.

همانطور که در شکل (۸) مشاهده می‌شود پس از ۶۰۰۰ ثانیه، در دمای محیط پتانسیل الکتروود در ولتاژ ۹۰۵ میلی‌ولت نسبت به الکتروود Ag/AgO تثبیت شد. این در حالی است که در دمای ۶۰ درجه پس از ۶۰۰۰ ثانیه هنوز تعادل حاصل نشده است. مشاهدات ماکروسکوپی سطح الکتروود نیز نشان می‌دهد، حباب‌های هیدروژن گازی به صورت پیوسته در حال تشکیل است. عدم تثبیت پتانسیل شیمیایی و تشکیل حباب‌های هیدروژن نشان می‌دهد فازهای فلزی ( $\alpha$ ) و هیدریدی ( $\beta$ ) در این دما در کنار یکدیگر پایدار نیستند و فاز هیدریدی به‌طور پیوسته به فاز فلزی تبدیل می‌گردد.

از آنجا که فاز هیدریدی در دمای ۶۰ درجه سانتی‌گراد پایدار نیست، لذا می‌توان چنین استدلال نمود که آلیاژ در دمای ۶۰ درجه بالاتر از دمای بحرانی ( $T_c$ ) قرار دارد. این نتیجه نشان می‌دهد آلیاژ تولید شده برای کاربرد در مناطق گرمسیر با مشکلات جدی مواجه بوده و تخلیه خودبخودی<sup>۲</sup> بالایی دارد. براساس پژوهش‌های فنگ<sup>۳</sup> و همکاران [۱۲]، در دمای محیط رابطه (۳) بین فشار منطقه تخت در منحنی فشار-ترکیب-دما و پتانسیل مدار باز در سلول الکتروشیمیایی برقرار است.

$$E = -0.9324 - 0.0291 \times \log p_{H_2} \quad (\text{vs. Hg} / \text{HgO}, 20^\circ \text{C}, 6 \text{ mol KOH})$$

رابطه (۳)

با قرار دادن پتانسیل تعادلی الکتروود در دمای محیط (۰.۹۰۵- ولت نسبت به الکتروود Ag/AgO) فشار تعادلی متناظر، ۰.۱۴ اتمسفر محاسبه می‌شود که تطابق مطلوبی با منحنی PCT آلیاژ در دمای محیط دارد.

#### ۴- نتیجه‌گیری

\*در سنتز آلیاژ جاذب هیدروژن  $\text{MmNi}_{3.55}\text{Co}_{0.75}\text{Mn}_{0.4}\text{Al}_{0.3}$

<sup>۲</sup>پدیده تخلیه خودبخود (Self-Discharge) به حالتی اطلاق می‌گردد که ظرفیت باتری پس از شارژ به مرور زمان کاهش می‌یابد؛ به عبارت دیگر این باتری‌ها توانایی نگهداری شارژ برای مدت زمان طولانی را ندارند.

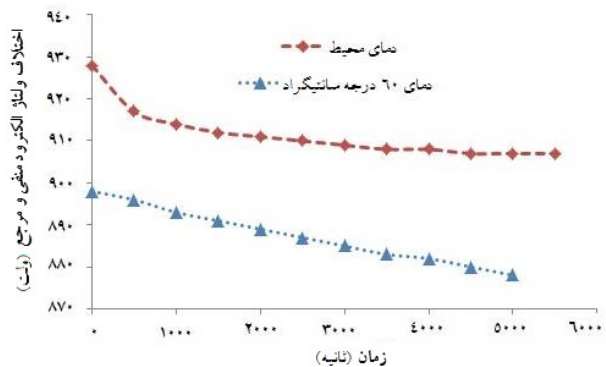
<sup>۳</sup>Feng

به‌طور کلی از منحنی‌های PCT دو نوع اطلاعات کلی قابل برداشت است. نخست ظرفیت ماده در ذخیره‌سازی هیدروژن. براساس پژوهش‌های ایواکورا<sup>۱</sup> و همکاران [۲۲] رابطه (۱) بین ظرفیت الکتروشیمیایی الکتروود و ظرفیت ماده در ذخیره‌سازی هیدروژن وجود دارد:

$$C(\text{mAhg}^{-1}) = 6 \times 26800 \frac{(H/M)_s - (H/M)_{0.1}}{MW} \quad (1)$$

در رابطه (۱) MW وزن مولی آلیاژ جاذب هیدروژن،  $(H/M)_s$  و  $(H/M)_{0.1}$  به ترتیب میزان هیدروژن ذخیره شده در آلیاژ در فشار پنج اتمسفر و ۰.۱ اتمسفر می‌باشد. در فشارهای کمتر از ۰.۱ اتمسفر، هیدروژن به صورت اتمی در ساختار فلز حل شده و در واکنش‌های الکتروشیمیایی شرکت نمی‌کند. از طرفی در فشارهای بالاتر از پنج اتمسفر به دلیل فشار بالا، هیدروژن به صورت هیدروژن گازی از سیستم خارج شده و در واکنش‌های الکتروشیمیایی شرکت نمی‌نماید. با توجه به رابطه (۱) انتظار می‌رود آلیاژ سنتز شده ظرفیت ۱۵۳ mAh/g را از خود نشان دهد که در چرخه سوم تخلیه این مطلب قابل رویت است (شکل (۵)).

علاوه بر رابطه بین میزان هیدروژن ذخیره شده در آلیاژ و ظرفیت الکتروشیمیایی آلیاژ، فشار منطقه تخت نیز در منحنی‌های PCT اطلاعات مطلوبی در اختیار ما قرار می‌دهد. با توجه به تعادلی و برگشت‌پذیری بودن واکنش تولید هیدرید فلز، فشار منطقه تخت معرف فشار تعادلی در واکنش تولید فاز بتا (فاز هیدریدی) می‌باشد.



شکل ۸. پتانسیل مدار باز برای الکتروود حاوی آلیاژ جاذب هیدروژن در دمای محیط و دمای ۶۰ درجه سانتیگراد.

<sup>۱</sup>Iwakura



- Applications, *Materials*, 6(10) (2013) 4574-4608.
7. Liu, Y., Pan, H., Gao, M., Wang, Q., Advanced hydrogen storage alloys for Ni/MH rechargeable batteries, *Journal of Materials Chemistry*, 13 (2011) 4743-4755.
  8. Lakner, J.F., Uribe, F.S. and Steward, S.A., Hydrogen and deuterium sorption by selected rare earth intermetallic compounds at pressures up to 1500 atm, *Journal of the Less Common Metals*, 72(1) (1980) 87-105.
  9. Ewe, H., Justi, E.W. and Stephan, K., Elektrochemische Speicherung und Oxidation von Wasserstoff mit der intermetallischen Verbindung  $\text{LaNi}_5$ , *Energy Conversion*, 13(3) (1973) 109-113.
  10. Kuriyama, N., Sakai, T., Miyamura, H., Tanaka, H. and Ishikawa, H., Uehara, I., et al., Hydrogen storage alloys for nickel-metal hydride battery, *Vacuum*, 47 (1996) 889-892.
  11. Percheron-Guegan, A., et al. *Hydrogen electrochemical storage by substituted  $\text{LaNi}_5$  compounds. in Hydrides for Energy Storage, 1978.*
  12. Feng, F., Electrochemical characteristics of metal hydride electrodes for nickel/metal hydride rechargeable batteries, *Automotive and Materials Engineering*, (2002), Windsor: Ontario.
  13. Chartouni, D., Meli, F., Züttel, A., Gross, K. and Schlapbach, L., The influence of cobalt on the electrochemical cycling stability of  $\text{LaNi}_5$ -based hydride forming alloys, *Journal of Alloys and Compounds*, 241 (1996) 160-166.
  14. Ikowa, M., et al., in *European Patent Application. 1987.*
  15. Varin, R.A., Czujko, T. and Wronski, Z.S., *Nanomaterials for Solid State Hydrogen Storage*, (2008), New York: Springer.
  16. Holm, T., Synthesis and characterisation of the nanostructured magnesium-lanthanum-nickel alloys for Ni-metal hydride battery applications, (2012), Norwegian University of Science and Technology: Trondheim.
  17. Ozaki, T., Kanemoto, M., Takeya, T., Kitano, Y., Kuzuhara, M., Watada, M., Tanase, S. and Sakai, T., Stacking structures and electrode performances of rare earth-Mg-Ni-based alloys for advanced nickel-metal hydride battery, *Journal of Alloys and Compounds*, 446 (2007) 620-624.
  18. Fukumoto, Y., Miyamoto, M., Matsuoka, M. and Iwakura, C., Effect of the stoichiometric ratio on electrochemical properties of hydrogen storage alloys for nickel-metal hydride batteries, *Electrochimica acta*, 40(7) (1995) 845-848.
  19. Kohno, T., Yoshida, H., Kawashima, F., Inaba, T., Sakai, I., Yamamoto, M. and Kanda, M., Hydrogen storage properties of new ternary system alloys:  $\text{La}_2\text{MgNi}_9$ ,  $\text{La}_5\text{Mg}_2\text{Ni}_{23}$ ,  $\text{La}_3\text{MgNi}_{14}$ , *Journal of Alloys and Compounds*, 311(2) (2000) L5-L7.
  20. Raju, M., Ananth, M. and Vijayaraghavan, L., Influence of electroless coatings of Cu, Ni-P and Co-P on  $\text{MmNi}_{3.25}\text{Al}_{0.35}\text{Mn}_{0.25}\text{Co}_{0.66}$  alloy used as anodes in Ni-MH batteries, *Journal of Alloys and Compounds*, 475(1) (2009) 664-671.
  21. Sakai, T., Yoshinaga, H., Miyamura, H., Kuriyama, N. and Ishikawa, H., Rechargeable hydrogen batteries using rare-earth-based hydrogen storage alloys, *Journal of Alloys and Compounds*, 180(1-2) (1992) 37-54.
  22. Iwakura, C. and Matsuoka, M., Applications of hydrogen storage alloys to battery related fields: Nickel-Hydrogen Batteries, *Progress in Batteries and Battery Materilas*, 10 (1991) 81-114.

به روش ذوب القایی تحت خلاء انتظار می‌رفت به دلیل زمان کوتاه آلیاژسازی نسبت‌های استوکیومتری مواد توزین شده تا حد امکان بدون تغییر باقی بماند. با توجه به نقطه جوش کمتر فلز منگنز، مقداری از آن در اثر آلیاژسازی تبخیر شده است. تغییرات وزن نمونه در اثر آلیاژسازی و نیز انجام آنالیز EDX بر روی نمونه سنتز شده، صحت این ادعا را تایید می‌نماید.

\* فازهای تشکیل شده در آلیاژ پس از ریخته‌گری به‌طور عمده از نوع  $\text{AB}_5$  با ساختار کریستالوگرافی هگزاگونال می‌باشد. علاوه بر آن مقداری فاز ابرساختار با فرمول شیمیایی  $\text{A}_2\text{B}_7$  نیز در آلیاژ سنتز شده مشاهده می‌گردد.

\* آلیاژ  $\text{MmNi}_{3.55}\text{Co}_{0.75}\text{Mn}_{0.4}\text{Al}_{0.3}$  به صورت برگشت پذیر قابلیت ذخیره‌سازی انرژی به میزان ۱۵۰ mAh/g را دارد. \* آلیاژ سنتز شده در دمای محیط یک درصد وزنی و در دمای ۶۰ درجه سانتی‌گراد ۰٫۶ درصد وزنی هیدروژن ذخیره می‌نماید.

\* با توجه به گرمازا بودن واکنش تشکیل هیدرید فلز، با افزایش دما منحنی PCT به فشارهای مثبت‌تری منتقل شده و ظرفیت ذخیره‌سازی کاهش می‌یابد.

\* عدم تثبیت پتانسیل شیمیایی و تشکیل حباب‌های هیدروژن در دمای ۶۰ درجه سانتی‌گراد، نشان می‌دهد فازهای فلزی ( $\alpha$ ) و هیدریدی ( $\beta$ ) در این دما در کنار یکدیگر پایدار نیستند و فاز هیدریدی به‌طور پیوسته به فاز فلزی تبدیل می‌گردد. از آنجا که فاز هیدریدی در دمای ۶۰ درجه سانتی‌گراد پایدار نیست، لذا می‌توان چنین استدلال نمود که آلیاژ در دمای ۶۰ درجه بالاتر از دمای کوری ( $T_c$ ) قرار دارد.

## مراجع

1. Daniel, C. and Besenhard, J.O., eds. *Handbook of battery materials*, 2(011), Wiley-VCH Verlag & Co. KGaA: Weinheim.
2. Taniguchi, A., Fujioka, N., Ikoma, M. and Ohta, A., Development of nickel/metal-hydride batteries for EVs and HEVs, *Journal of power sources*, 100(1) (2001) 117-124.
3. Conte, M., Prosini, P. and Passerini, S., Overview of energy/hydrogen storage: state-of-the-art of the technologies and prospects for nanomaterials, *Materials Science and Engineering: B*, 108(1) (2004) 2-8.
4. Tarascon, J.-M. and Armand, M., Issues and challenges facing rechargeable lithium batteries, *Nature*, 414, (2001) 359-367.
5. Hong, K., The development of hydrogen storage electrode alloys for nickel hydride batteries, *Journal of power sources*, 96(1) (2001) 85-89.
6. Young, K. and Nei, J., The Current Status of Hydrogen Storage Alloy Development for Electrochemical